

III-30 分流の実験（次四報）移動床分水工の実験的研究

大阪大學生部 正員 ○ 室田 明
大阪市水道局 準員 仲谷義夫

捷水路、捲電所の取水路等、現存する若干の分水工について調査した結果、一般的な傾向として認められる顯著な特性は、分水渠上流から輸送される掃流土砂のほとんどが分水路側に吸込まれて屢々分水路を堆積土砂が閉塞する事さえありうるという現象である。

筆者は、既に前報において、分水渠付近の流水の挙動、すなわち表層流線に比し下部の底層流線が分水路側に吸込まれる事に注意して、上述の掃流砂量の配分には二次流効果が極めて大きく作用する事を予測した。

本研究では、1：掃流砂量の分歧点兩水路との配分に関する水理要素の解明、2：特に分水渠付近の二次流と輸送砂量配分との関連、3：二次流強度を見積り解析するための分水渠付近の流況、流速及び水面形状の検測と解析法、の三項について基礎的な研究を行つた。なお実験水路は、主、分水路共河床勾配：1/700、主水路：延長 16.5m 中 57° 分水路：延長 5.0m 中 25cm とし、主水路軸と 30° をなして分水路を設ける。

1. 分水渠付近の水面形状の解析と実測：

1-a 主水路内の(横断方向)平均水深：H の計算と実測：

Fig.-1 において開口部 C-D から単位長さ当たり $KQ_0/2b$ の流出があるものとすれば、C-D 間の水面曲線は次式で与えられる

$$\text{運動量式によれば } \frac{1}{2} H^2 + \frac{H_c^3}{H} = \frac{1}{2} H_0^2 + \frac{H_{co}^3}{H_0}$$

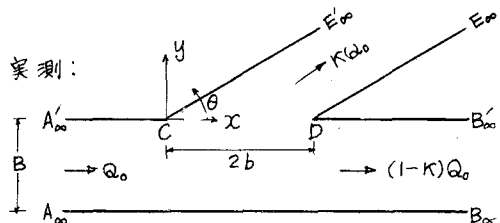


Fig.-1

エネルギー式によると、(E.g. 1. C-D 間の friction は省略して)

$$2H + \frac{H_c^3}{H^2} = 2H_0 + \frac{H_{co}^3}{H_0^2}, \text{ ただし } H_c^3 = \frac{Q^2}{gB^2}, \quad Q = (1-K)Q_0 + \frac{KQ_0}{2b}x, \text{ 添字 } 0 \text{ は断面 D } g \text{ の値を示す。}$$

実測値との比較の一例を Fig.-2 に示す。

1-b 分水渠付近右岸の水面形状の近似計算：

筆者前報で述べた自由流出の場合について Flow-net を用ひ、之に (主水路内) U-U_0 の流速と重ね合せると、右岸での流速分布は一様流速をもつ。又、自由流出の Flow-net を用ひ、之に自由流出水束、及び壁面 C-A'_oo (又は D-B'_oo) に沿う流速分布式は写像計算の結果次式で与えられる。

$$X = \frac{bQ_0}{\alpha \pi} \log \left(\frac{1 - \alpha \cos \theta}{1 - \alpha} \right)$$

$$\frac{\alpha \pi}{n Q_0} \cdot X = \log \frac{\eta \sqrt{2(1-\alpha)}}{\sqrt{2\eta - \alpha \eta^2 - \alpha}} \left\{ \frac{(1-\alpha\eta + \sqrt{1-\alpha^2})(1-\alpha - \sqrt{1-\alpha^2})}{2} \right\} + \alpha \tan^{-1} \eta - \frac{\alpha \pi}{4},$$

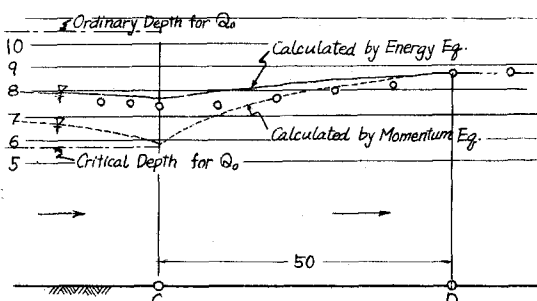


Fig.-2 (cm-unit) $Q_0 = 25.6 \text{ l/sec.}$
 $K = 0.250$

たゞし、 α と ϕ_0 は $\alpha \pi (1 - \phi_0) / \phi_0 = \log \frac{1}{1 - \alpha}$ 、及び $\alpha = 4n\phi_0 / (n\phi_0)^2 + 4$ から定まる定数、
 $\eta = u_0(x)/u_{00}$ (u_0 は自由流出のときの $C-A'_0$ に沿う流速、 $u_{00} = 2D_0/h\phi_0$)、 $n = 2b/B$ とする。

次に、岸壁付近の横断方向平均水深： H にあわせる如く右表での水深： h 、左表の η の値であるが、この時は横断方向に specific-energy:一定の仮定の元に計算を行つ。

計算結果は省略し、実験の一例を示せば Fig.-3 の如くである。

なお、この場合の流線形状は Fig.-4 の如くであり、

この表層と底層の流線の偏倚量： U_s を用いて二次流流速： U_s は

$$U_s = U \cdot dE/dx \quad (E: \text{偏倚開始点から} x \text{の距離}) \text{ によって求めることにする。}$$

2. 掃流砂量の配分に関する実験結果：

固定床のまゝで、分岐渠上流から掃流形式で実験砂を輸送せしめ、流量、流量配分比、掃流砂量と種々変化させて、両水路との掃流砂配分比（たゞし分水路流入砂量と底輸送量との比）をしきべると、この配分比は、單に流量配分比のみの函数であつて、他の要素はほとんど関係しないと認められ、他の要素はほとんど関係ないといふ結果を得た。実験結果を Fig.-5 に示す。

図より明らかに如く、分水路との流入流量がさゞ 50 % の場合、ほとんどの全部の掃流砂が分水路側に流入するに至る確認された。この実験結果と二次流の効果、

又は境界層厚さとの関連は講者の傍證である。

3. 分水渠付近の砂堆積：(Fig.-6)

詳細は講演の際、報告する。

なお、本研究は昭和 33 年度文部省科学研究費の補助を受け行つたものである。以上

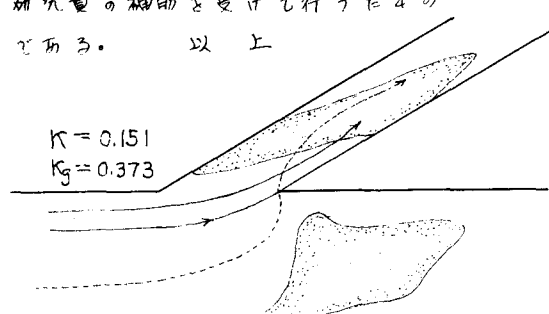


Fig.-6

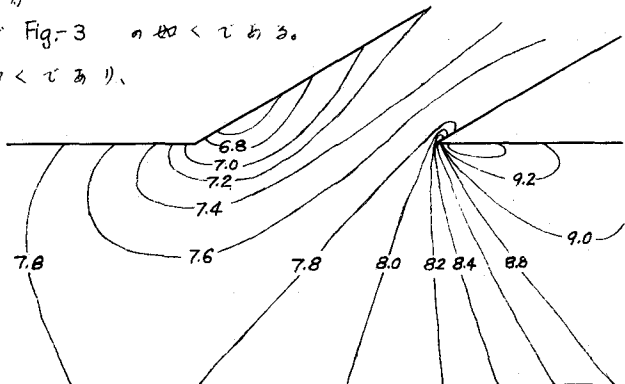


Fig.-3 流れ (Q₀ = 25.6 l/sec.)

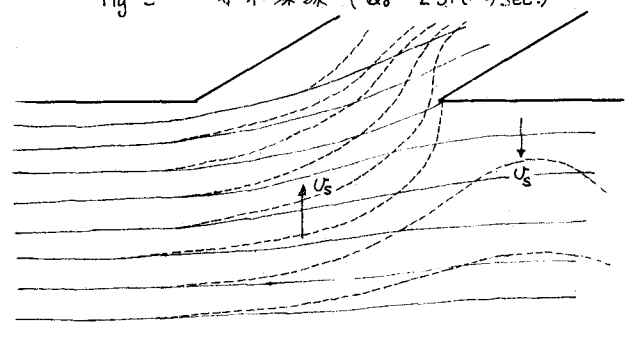


Fig.-4 流線形状 (Q₀ = 25.6 l/sec.)
(実線は表層、点線は底層流線を示す。)

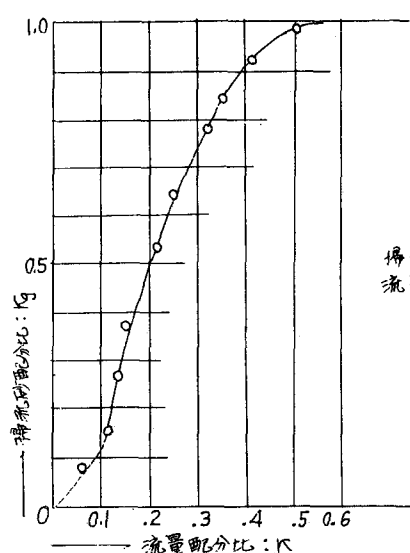


Fig.-5
掃流砂配分比: Kg と
流量配分比: K との関係